

ЛАВИННО-ПЛАЗМЕННЫЙ ПЕРЕХОД ПРИ СТРИМЕРНОМ ПРОБОЕ

В.С.Болдасов, А.А.Рухадзе

На основе численного моделирования проведено исследование развития лавины ионизации в перенапряженных коротких плоских промежутках, заполненных гелием при атмосферном давлении. Установлены условия и механизм появления и развития плазменной области и анодного стримера.

Построение теории пробоя газов высокого давления, которая бы с достаточной для практических применений точностью описывала механизм и развитие пробоя, сталкивается с рядом затруднений из-за недостатка детальных количественных данных. Получение таких данных затруднено из-за того, что при пробое газов протекает большое число взаимосвязанных быстрых процессов. Поэтому важное значение приобретает численное моделирование газоразрядных систем на ЭВМ с использованием достаточно полных моделей.

Данная работа посвящена численному исследованию развития лавины ионизации во внешнем постоянном электрическом поле на основе предложенной в /1, 2/ плазменной модели пробоя газа высокого давления. В качестве рабочего вещества взят гелий при атмосферном давлении и комнатной температуре. Ограничиваемся анализом плоского одномерного разряда при расстоянии между электродами $d = 1$ см, к которым приложено постоянное напряжение $\Phi_0 = 10 - 20$ кВ. В этих условиях при наличии некоторой предварительной ионизации время развития разряда составляет десятки наносекунд. За это время ионы не успевают заметно сместиться и их можно считать неподвижными. Поведение системы определяется динамикой электронов в самосогласованном электрическом поле, состоящем из внешнего поля и поля пространственного заряда ионов и электронов. Под действием электрического поля электроны движутся к аноду. Длина свободного пробега электронов определяется их столкновениями с нейтральными атомами и составляет $\approx 10^{-5}$ см. Это позволяет для описания движения электронов использовать дрейфовое приближение, считая скорость электронов в пропорциональной напряженности электрического поля E . В результате столкновений электроны термализуются, причем за счет нагрева электрическим полем их температура T_e значительно превышает температуру газа T_g .

Неупругие столкновения электронов с нейтральными атомами приводят к ионизации и возбуждению атомов газа. Для описания этих процессов использовалось приближение поуроневой кинетики. Предварительные оценки показали, что для начальной стадии разряда, пока температура электронов достаточно велика ($T_e \gtrsim 1$ эВ), можно ограничиться двухуровневой моделью атома гелия.

Сделанные допущения позволяют для описания развития разряда использовать следующую систему уравнений:

$$\begin{aligned} \frac{\partial N_e}{\partial t} + \frac{\partial}{\partial x} (vN_e) - \frac{\partial}{\partial x} (D \frac{\partial N_e}{\partial x}) &= Q_e = \frac{\partial N_i}{\partial t}, \\ Q_e &= N_e (V_{02} N_0 - V_{20} N_2 + V_{12} N_1 - V_{21} N_2), \\ \frac{\partial N_1}{\partial t} &= N_e (V_{01} N_0 - V_{10} N_1 + V_{21} N_2 - V_{12} N_1), \\ \frac{\partial N_0}{\partial t} &= N_e (V_{10} N_1 - V_{02} N_0 + V_{20} N_2 - V_{02} N_0), \\ N_2 &= (g_2/g_e g_1) N_e^2 (h^2/2\pi m T_e)^{3/2} \exp\left(\frac{I - E_2}{T_e}\right), \\ v &= \mu E, \quad D = \beta T_e, \quad E = -\partial \Phi / \partial x, \end{aligned}$$

$$\frac{\partial^2 \Phi}{\partial x^2} = -4\pi e(N_e - N_i), \quad \Phi(x=0) = 0, \quad \Phi(x=d) = \Phi_0.$$

$$e^2 E^2 / m v = 3(m/M) \nu(T_e - T_g) + E_1(V_{01}N_0 - V_{10}N_1) + E_2(V_{02}N_2 - V_{20}N_2) + \\ + (E_2 - E_1)(V_{12}N_1 - V_{21}N_2),$$

$$\frac{\partial(N_0 T_g)}{\partial t} = 3(m/M) \nu(T_e - T_g) N_e, \quad \frac{\partial N_e}{\partial x}|_{x=0} = \frac{\partial N_e}{\partial x}|_{x=d} = 0.$$

Здесь N_e и N_i — концентрация электронов и ионов; N_0 — концентрация невозбужденных нейтральных атомов; N_1 и N_2 — концентрация атомов, возбужденных на 1-й и 2-й уровнях; e и m — заряд и масса электрона; h — постоянная Планка; M — масса атома гелия; g_2 , g_0 и g_1 — статистические веса соответствующих состояний; Φ — потенциал электрического поля; V_{ik} ($i, k = 0, 1, 2$) — зависящая от температуры электронов T_e вероятность перехода атома с i -того на k -тый уровень; μ — подвижность электронов; I — потенциал ионизации атомов; E_1 и E_2 — энергия возбуждения на 1-й и 2-й уровнях. Система дополняется начальными условиями для N_e , N_0 , N_1 и N_2 .

Данная самосогласованная нелинейная задача решалась численно итерационными конечно-разностными методами на ЭВМ БЭСМ-6. Для уточнения границ применимости модели проведена серия расчетов пространственно однородной системы, которые показали, что время развития разряда хорошо согласуется с экспериментальными данными, причем для заданного Φ_0 оно зависит только от начального значения N_e . Через некоторое время устанавливается определенное соотношение между N_1 , N_2 и N_e , а начальные значения N_1 и N_2 "забываются" и не влияют на поведение системы. "Выгоранием" газа можно пренебречь; нагрев газа наблюдается лишь при $N_e \gtrsim 5 \cdot 10^{14} \text{ см}^{-3}$. Поэтому в дальнейших расчетах уравнения для N_0 и T_g не использовались, эти величины считались постоянными и равными $N_0 = 3 \cdot 10^{19} \text{ см}^{-3}$, $T_g = 300 \text{ К}$.

Для исследования механизма развития разряда проведена серия расчетов при неоднородном начальном распределении концентрации электронов в промежутке. Установлено, что если начальная плотность электронов в каждой точке промежутка отлична от нуля, то неоднородность в системе сохраняется лишь ограниченное время. Когда в результате ионизации газа концентрация электронов достигает значения $\sim 10^9 \text{ см}^{-3}$, включается следующий физический механизм выравнивания неоднородностей. В областях с повышенной концентрацией электронов за счет разделения зарядов (электроны движутся к аноду, а ионы неподвижны) величина электрического поля уменьшается, соответственно уменьшается температура электронов и вероятность ионизации ими газа. Это замедляет дальнейший рост плотности электронов. В областях с пониженной концентрацией электронов наблюдается обратная картина. С ростом N_e этот эффект усиливается и при $N_e \gtrsim 10^{12} \text{ см}^{-3}$ распределение $N_e(x)$ и всех других величин в промежутке становится однородным, и далее развивается однородная форма разряда.

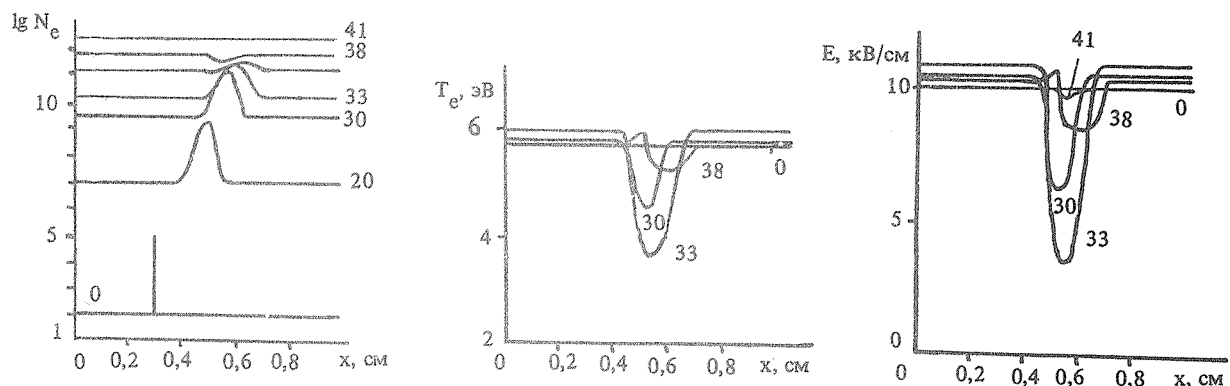


Рис. 1. Распределение N_e (а), T_e (б) и электрического поля E (в) вдоль промежутка. Цифрами указаны моменты времени в наносекундах. При $t > 41$ нс $T_e = \text{const}$, $E = \text{const}$.

На рис. 1 приведены результаты расчета характерного варианта, иллюстрирующие развитие разряда в этом случае. Следует отметить, что поведение системы слабо зависит от величины неоднородности в начальном распределении концентрации электронов.

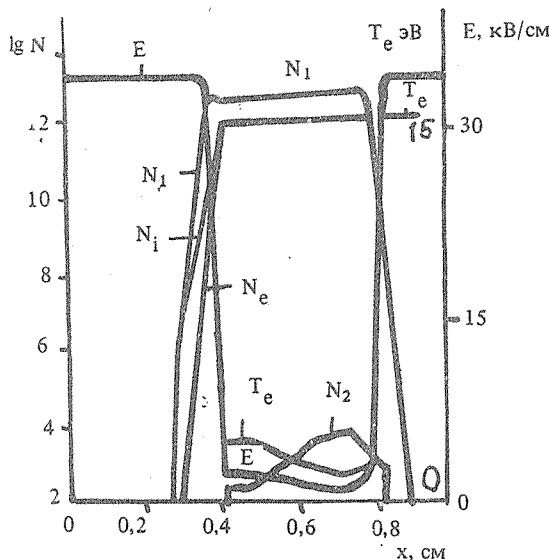


Рис. 2. Распределение вдоль промежутка параметров разряда $\lg N_e$, $\lg N_i$, $\lg N_1$, $\lg N_2$, T_e , E в момент времени $t = 16$ нс для случая, когда в начальном распределении $N_e(x)$ отсутствует фон; $\Phi_0 = 20$ кВ.

Иная картина развития разряда наблюдается, когда потока электронов с катода нет и начальное распределение концентрации электронов N_e носит локальный характер. Анализ результатов расчетов показал, что по достижении концентрацией электронов в результате ионизации газа значения $N_e \cong 10^{11} - 10^{12}$ дальнейший рост N_e прекращается. При этом за счет разделения зарядов электрическое поле E и, соответственно, температура электронов T_e внутри области, занятой электронами, сильно уменьшаются, т.е. в промежутке образуется плазменная область. Это иллюстрирует приведенное на рис. 2 распределение вдоль промежутка параметров разряда в фиксированный момент времени. Профиль распределения концентрации электронов в промежутке $N_e(x)$ в дальнейшем трансформируется следующим образом. Фронт профиля, обращенный к катоду, практически неподвижен. Фронт профиля $N_e(x)$, обращенный к аноду, не деформируясь, движется с нарастающей скоростью v_ϕ , причем v_ϕ значительно превышает скорость дрейфа электронов во внешнем поле $v_0 = \mu\Phi_0/d$. В расчетах отношение v_ϕ/v_0 составляло $\sim 2 - 5$ в зависимости от величины ускоряющего напряжения. Полученная в расчетах скорость движения анодного фронта v_ϕ близка к экспериментально измеренным значениям скорости распространения стримера /2/. Это дает основания отождествить наблюдавшуюся картину с зарождением и развитием анодного направленного стримера при искровом пробое промежутка.

Для получения более полной и адекватной картины необходимо включение в модель излучения (из-за большой температуры электронов $T_e \approx 1$ эВ должно наблюдаться интенсивное излучение из плазменной области), большего числа уровней атома гелия и неодномерности пробоя.

Авторы благодарны О.А.Омарову и А.П.Бройтману за многочисленные обсуждения.

ЛИТЕРАТУРА

1. Омаров О. А., Рухадзе А. А., Шнерсон Г. А. ЖТФ, 49, 1577 (1979); 50, 536 (1980).
2. Брайтман А. П. и др. Краткие сообщения по физике ФИАН, № 6, 50; № 9, 27, 41 (1984).